

**三次元座標計測(第7回)**  
**2005年度大学院講義**  
 2005年12月20日

高増 潔  
 東京大学工学系研究科  
 精密機械工学専攻  
 E-mail: takamasu@pe.u-tokyo.ac.jp  
 HP: http://www.nano.pe.u-tokyo.ac.jp/



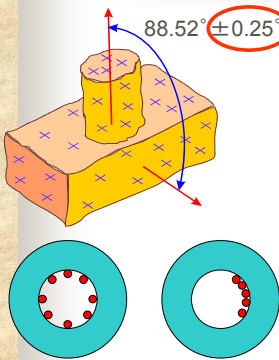
**三次元測定の不確かさ**

**機械計測破たんのシナリオ**

- 機械計測の多くの部分に三次元測定機(CMM)が必要.
- 測定の不確かさ, ISO9000によれば, 測定機には測定の不確かさが必要.
- 現在, CMMIによる複雑な測定の不確かさを推定することが難しい.
- 機械計測の多くの部分が破たんして, 機械部品の品質保証ができない.

2005/12/20 三次元座標測定7回 3

**座標計測における不確かさ**



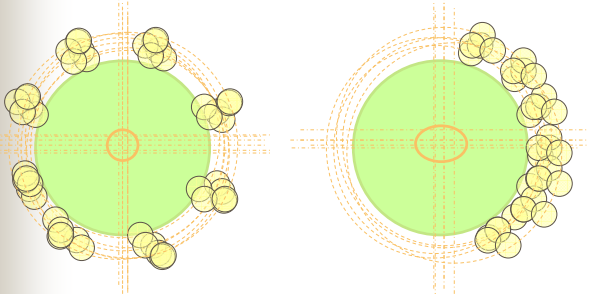
- 1点測定の不確かさ, 寸法測定の不確かさ
- 複雑な測定による測定結果の不確かさは, どのような関係か?
- 測定戦略の違い: 同じ測定機, プロービングシステムで同じ測定物を測定しても不確かさは同じではない.

均等に8点で測定 一部を5点で測定

2005/12/20 三次元座標測定7回 4

**測定戦略の違い**

- 同じ測定機で同じ測定物を測定しても, 測定の不確かさは異なる



2005/12/20 三次元座標測定7回 5

**不確かさの要因**

- 三次元測定機本体の誤差
  - 幾何的な誤差, 繰り返し誤差
  - スケールの分解能
- プロービングシステムの誤差
  - 繰り返し誤差
- 環境の誤差
  - 温度の影響
  - 振動の影響
- 測定物
  - 固定方法, ハンドリング
  - 表面粗さ, 形状誤差
- 測定戦略

2005/12/20 三次元座標測定7回 6

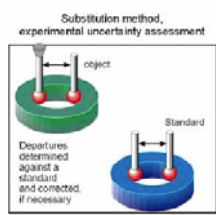
### 座標計測の不確かさの推定

- 長さ測定に対する評価手法
- 置き換え法 (PTB)
- シミュレーション法
  - 統計的な推定 (PTB, NPL, UT ...)
  - 形体計測 (UT)
  - 拘束条件によるシミュレーション(NIST)
  - バーチャルCMM (PTB)

2005/12/20 三次元座報測定7回 7

### 置き換え法(比較測定)

- CMMをコンパレータとして、ワークピースと校正されたワークピースの比較を行う
- 実験による不確かさの推定
  - 測定するワークピースの代わりに校正されたワークピースを使う
  - 同じ測定の手順を行う
  - これを数回繰り返す
  - 不確かさの評価を行う



2005/12/20 三次元座報測定7回 8

### シミュレーション法

2005/12/20 三次元座報測定7回 10

### シミュレーション法

- 計算機シミュレーションによる不確かさ推定
- ISO 15530シリーズの主たる手法
- 規格は以下のことを含む
  - シミュレーションの原理の定義
  - ソフトウェアに対する最小限の要求事項
  - どの不確かさを考慮しているかを示すチェックリスト
  - どんなモデルを使っているか
  - 市場における全ての技術的な解決に開かれている
  - シミュレーションソフトを検査する手法の提案

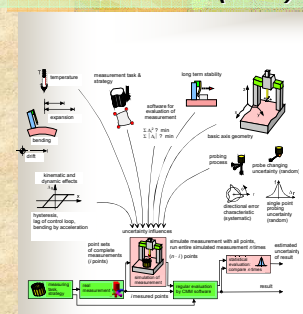
2005/12/20 三次元座報測定7回 10

### シミュレーション法の基本概念

- CMMから測定の不確かさを推定する
  - 繰返しのあるCMMの幾何誤差, プローブの誤差をアーティファクトで評価する
  - 短い周期のCMMの幾何誤差, 温度の影響をアーティファクトで評価する
  - プローブの偶然誤差を球測定で評価する
- 測定戦略に関係する不確かさの影響をシミュレーションで評価する
  - 測定点の数
  - 測定点の位置
- 他の要因の評価
  - ワークピースの形状誤差
  - ワークピースの固定方法
- 最小二乗和の平方を計算する

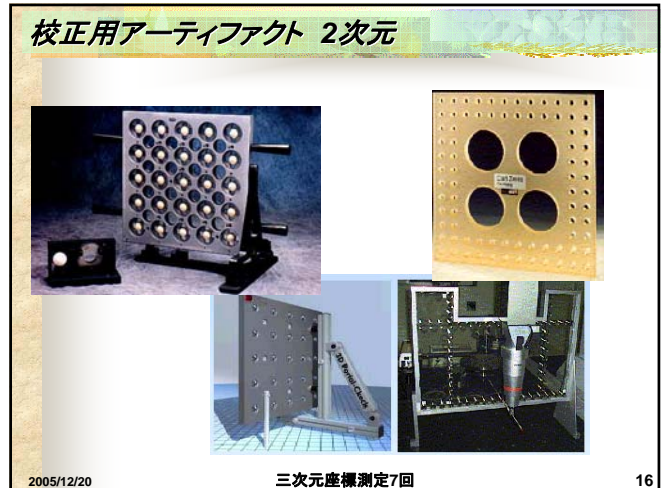
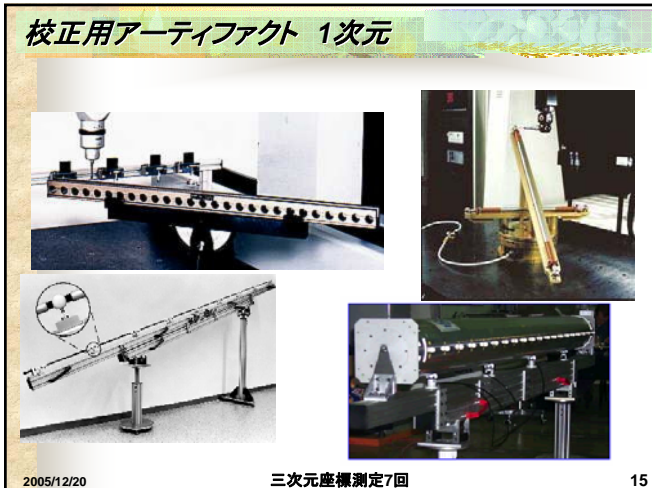
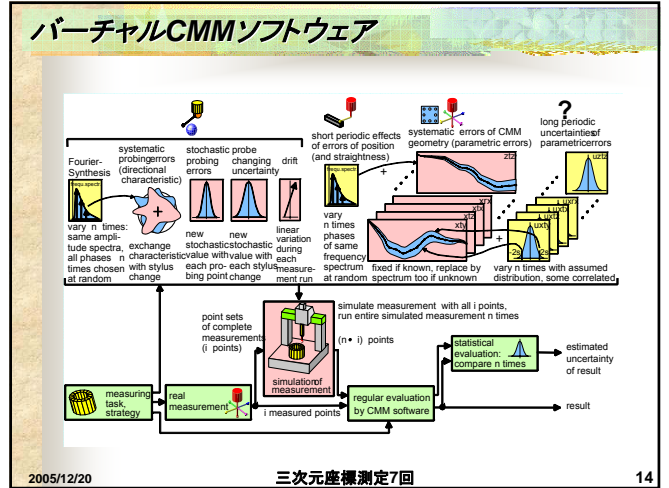
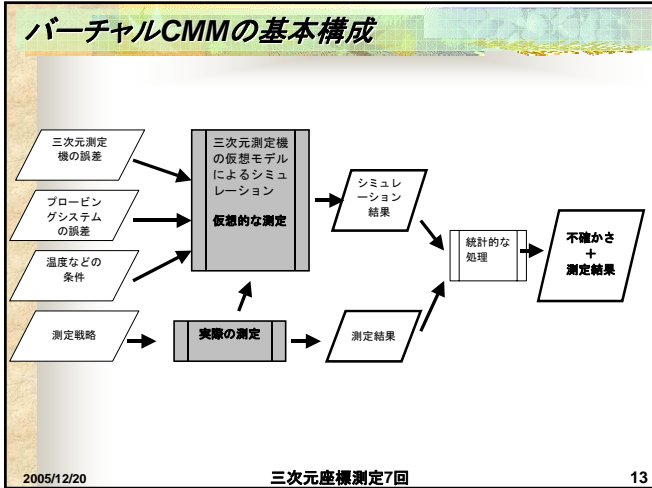
2005/12/20 三次元座報測定7回 11

### バーチャルCMM (PTB)



- CMMの実際のモデルを使う。(全パラメータモデル)
- ボールプレート法でCMMの幾何誤差を推定する。
- 参照球でプローブ誤差を推定する。
- オンラインVCMMとオフラインVCMM。

2005/12/20 三次元座報測定7回 12



### 21の幾何学的な誤差を推定

- 各軸の並進誤差3方向
- 各軸の回転誤差3方向
- 各軸間の直角誤差3つ
- それぞれを10から20の位置で推定する
- トータル200くらいのパラメータとなる

2005/12/20 三次元座標測定7回 18

### ボールプレート法

- 4つのボールプレートの位置.
- 6つの測定.
- 21のCMMの幾何誤差をKALKOMソフトウェアで計算する.

2005/12/20 三次元座標測定7回 19

### プローブの不確かさ

- 参照球を測定する.
- プローブの偶然誤差を推定する.
- プローブの系統誤差をフーリエスペクトルで推定する.

2005/12/20 三次元座標測定7回 20

### 不確かさの計算方法

2005/12/20 三次元座標測定7回 21

### 理論的な検討

プローブ校正の影響  
形状偏差の影響

### 未知の系統効果の例

- ボールプローブ(中心位置とプローブ径)を校正する
- ボールプローブを使って測定する

2005/12/20 三次元座標測定7回 23

### ボールプローブの直径誤差の効果

- 段差測定と寸法測定
- 未知の系統効果による不確かさ: ボールプローブのプローブ径の不確かさ

2005/12/20 三次元座標測定7回 24

### ボールプローブの中心位置の誤差の効果

- 2つの測定点の誤差に相関が生じる

2005/12/20 三次元座標測定7回 25

### 共分散を含む誤差行列の計算

$$s_i^2 = s_p^2 + c_x^2 + \frac{c_d^2}{4}$$

$$s_{ij}^2 = c_x^2 \cos(t_i - t_j) + \frac{c_d^2}{4}$$

$$S = \begin{pmatrix} S_1 & \frac{s_c^2}{4} & \dots & \frac{s_c^2}{4} \\ \vdots & \vdots & \ddots & \vdots \\ \frac{s_c^2}{4} & \dots & \frac{s_c^2}{4} & S_2 \\ \vdots & \vdots & \vdots & \vdots \\ \frac{s_c^2}{4} & \dots & \frac{s_c^2}{4} & \end{pmatrix}$$

2005/12/20 三次元座標測定7回 26

### 計算例:3種類のプローブによる円の測定

Center position error of probe $c_x, c_y$	×	○	×	○	○
Diameter error of probe $c_d$ ( $s_c$ not included)	×	×	○	○	○
Certificate error of reference circle $s_c$	×	×	×	×	○
X position error of measured circle $s_x$	1.928	2.441	1.933	2.444	2.444
Y position error of measured circle $s_y$	1.956	2.473	2.266	2.720	2.720
Diameter error of measured circle $s_d$	2.733	3.197	3.419	3.805	4.845

2005/12/20 三次元座標測定7回 27

### Evaluation of Uncertainty by Form Deviations of Measured Workpieces in Specified Measuring Strategies

K. TAKAMASU\*, S. KOGA\*, S. TAKAHASHI\*,  
M. ABBE\*\*, R. FURUTANI\*\*\* and S. OZONO\*\*\*

\* Department of Precision Engineering, The University of Tokyo  
\*\* Mitutoyo, \*\*\* Tokyo Denki University

### Effect of Form Deviation of Circle

- Two circle features have same form deviation (standard deviation) of 1  $\mu\text{m}$ .
- Question:** When the same measuring strategy (number and position of measured points) is obtained, the uncertainty of diameter and center position of each circle feature is same?

**Answer:** In this paper, we will formulate the calculation methods of the uncertainties effected by the form deviation of the circle feature.

2005/12/20 三次元座標測定7回 29

### Methods to Estimate Uncertainty in CM

- Least Squares Method + Error Propagation**
- Simulation with Constraints**
  - Using statistically characteristics (parameters: 21 geometrical errors, temperature effects...) of average of target CMMs.
  - Statistical parameters as variance and covariance and/or correlations between the parameters.
  - Cannot handle biases of the parameters.
- Virtual CMM (PTB)**
  - Using characteristics of the target CMM.
  - Can handle biases of the parameters.
  - Need to measure the parameters of the target CMM.

The least squares method + error propagation is theoretically estimation;  
Good to find **theoretical characteristics of uncertainties** in coordinate metrology.

2005/12/20 三次元座標測定7回 30

### Calculation of Uncertainty of Feature

- From the uncertainty of measured point, the uncertainty of measured feature can be calculated statistically by least squares method + error propagation.
- A** : Jacobian matrix: Positions of measured points
- S** : Uncertainty matrix of measure points
- W** : Weighting function = Inverse matrix of S
- P** : Uncertainty matrix of parameters of feature  
Uncertainties of diameter, coordinate of center ...

$$C = (A' S^{-1} A)^{-1} A' S^{-1} = (A' W A)^{-1} A' W$$

$$P = C S C' = (A' S^{-1} A)^{-1} = (A' W A)^{-1}$$

2005/12/20 三次元座標測定7回 31

### P: Uncertainty Matrix of Circle Feature

- In this paper, we examine the method of estimation of measured parameters for **circle feature** measurement.
- Uncertainty matrix **P** of the circle features;
  - U. (variance) of X and Y coordinates of center  $s_x^2$  and  $s_y^2$
  - U. (variance) of diameter  $s_d^2$
  - covariance of these parameters  $s_{xy}$ ,  $s_{xd}$  and  $s_{yd}$
- Jacobian matrix **A** and Uncertainty matrix of measure points **S** are need to calculate **P**

$$P = \begin{pmatrix} s_x^2 & s_{xy} & s_{xd} \\ s_{xy} & s_y^2 & s_{yd} \\ s_{xd} & s_{yd} & s_d^2 \end{pmatrix}$$

2005/12/20 三次元座標測定7回 32

### S: Uncertainty Matrix of Measured Points

- S<sub>ran</sub>** : random error  
When the form deviation has the specified correlation function,  $S_{cov}$  is defined by the autocorrelation matrix  $R_{cov}$  and  $s_f^2$ .  
 $R_{cov}$ : correlation coefficients between the form deviations of measured points.
- S<sub>cov</sub>** : error with specified autocorrelation function  
When the form deviation is random error,  $S_{ran}$  is the unit matrix multiplied by the variance  $s_f^2$  of form deviation.

$$S_{ran} = \begin{pmatrix} s_f^2 & & 0 \\ & \ddots & \\ 0 & & s_f^2 \end{pmatrix} = s_f^2 E$$

$$S_{cov} = \begin{pmatrix} s_f^2 & s_{12} & \dots & s_{1n} \\ s_{12} & \ddots & s_{ij} & \vdots \\ \vdots & s_{ij} & \ddots & s_{n-1n} \\ s_{1n} & \dots & s_{n-1n} & s_f^2 \end{pmatrix} = s_f^2 R_{cov}$$

2005/12/20 三次元座標測定7回 33

### Estimation of Uncertainty Matrix P

- From two types of error matrices  $S_{ran}$  and  $S_{cov}$ , there are three types of uncertainties of measured parameters  $P_{ran}$ ,  $P_{cov}$  and  $P_{r+c}$ .
- P<sub>ran</sub>**: Form: Random LSM: Random
- P<sub>cov</sub>**: Form: Not Random LSM: with Autocorrelation
- P<sub>r+c</sub>**: Form: Not Random LSM: Random

Usually the calculating program in CMM can not handle the autocorrelation function. Therefore, the uncertainties of the normal calculating situation in measuring by CMM are defined by  $P_{r+c}$ . **We Use This Method**

$P_{ran}$  is the uncertainty matrix of parameters when the form deviation is assumed as the random function.

$P_{r+c}$  is the uncertainty matrix of parameters when the form deviation has the specified autocorrelation function and calculated using the normal least squares method without the autocorrelation function.

$P_{cov}$  is the uncertainty matrix of parameters when the form deviation has the specified autocorrelation function and calculated using the autocorrelation function. **Best Method**

2005/12/20 三次元座標測定7回 34

### Examples of Uncertainty Estimation

- Example: a hole with circularity of 28.8  $\mu m$ , diameter of 20 mm,  $s_f = 3.1 \mu m$ .
- Autocorrelation function of the hole:  
The autocorrelation function and power spectrum of the hole has large 2nd and 4th order frequency values.

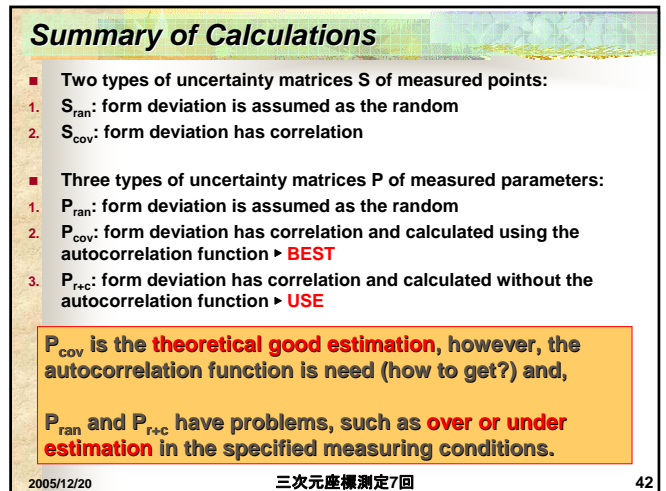
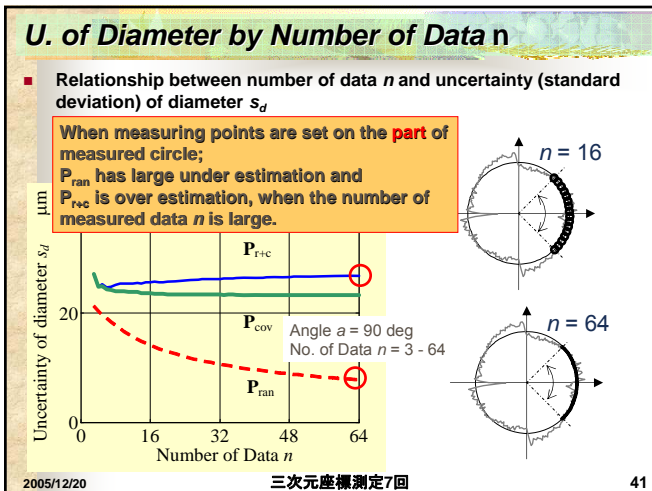
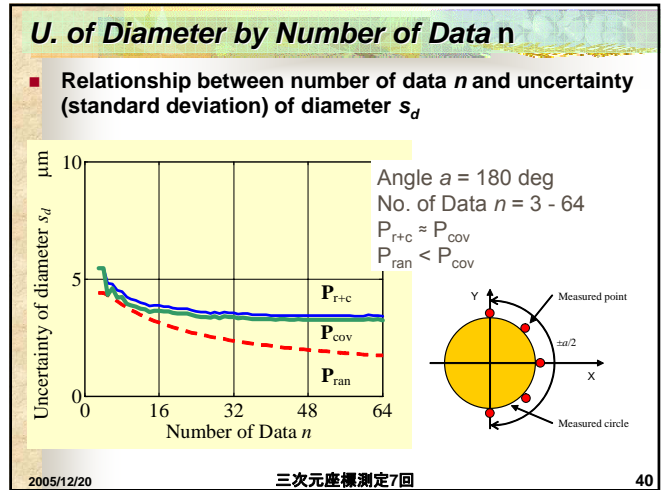
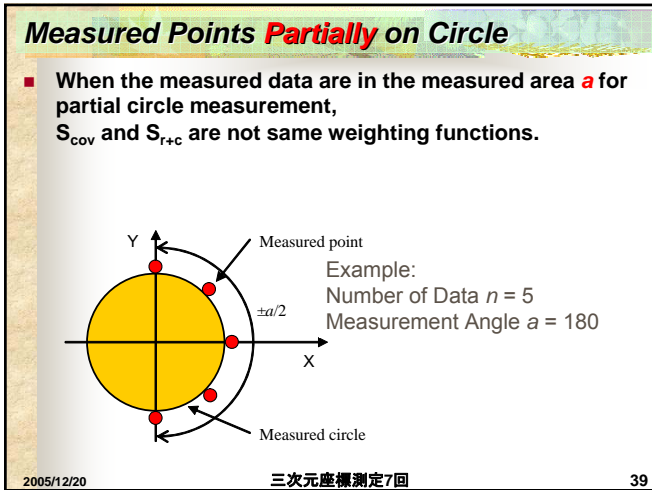
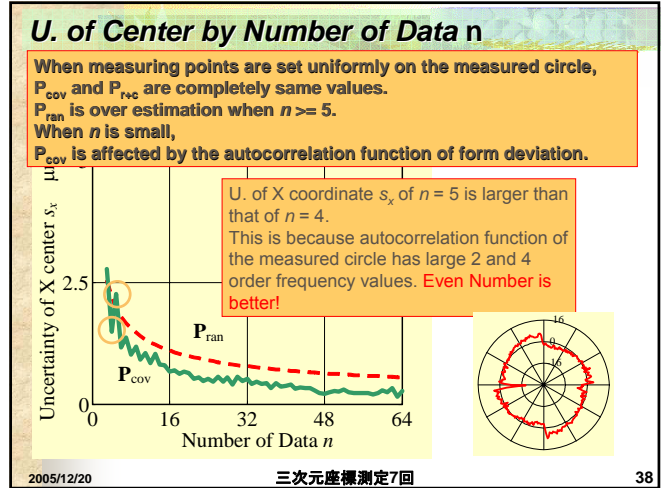
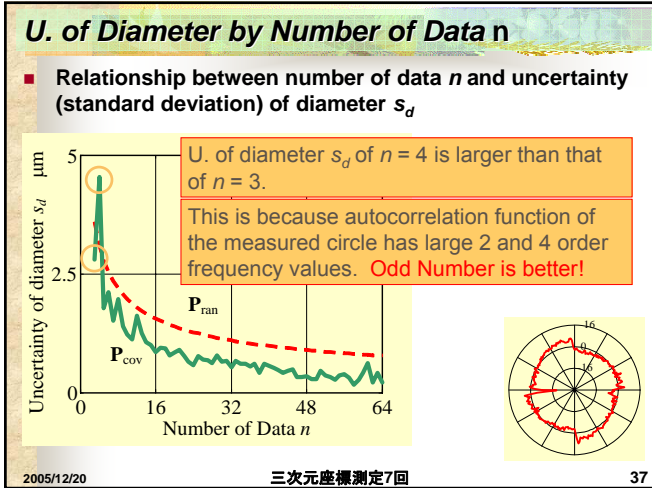
2005/12/20 三次元座標測定7回 35

### Measured Points Uniformly on Circle

- When measuring points are set uniformly on the measured circle,  $P_{cov}$  and  $P_{r+c}$  are completely same values, because of  $S_{cov}$  and  $S_{ran}$  are the same weighting function for all measured points.

Example: Number of Data  $n = 8$

2005/12/20 三次元座標測定7回 36



### Conclusions

- In this paper, we theoretically analyzed the effects of the form deviation of circular feature.
- These errors propagate as the unknown systematic errors to the uncertainties of measured parameters, such as the center position and the diameter of the measured circle.
- The method to calculate the three types of uncertainty matrices  $P_{ran}$ ,  $P_{cov}$ ,  $P_{r+c}$  were derived when the form deviation is assumed as random and has specified autocorrelation function.
- Using the calculation methods by  $P_{cov}$ , the uncertainties of the measured parameters can be estimated with the autocorrelation function of the measured features.

2005/12/20 三次元座報測定7回 43

### U.: Measured Points Uniformly on Circle

- The uncertainty of diameter of  $n = 4$  is larger than that of  $n = 3$ , and uncertainty of X coordinate of  $n = 5$  is larger than that of  $n = 4$ , because of the feature has large even order frequency values.

number of data $n$	3	4	5
uncertainty of diameter $S_d$	2.80 $\mu\text{m}$	4.54 $\mu\text{m}$	1.78 $\mu\text{m}$
uncertainty of X coordinate of center $S_x$	2.78 $\mu\text{m}$	1.48 $\mu\text{m}$	2.26 $\mu\text{m}$

2005/12/20 三次元座報測定7回 44

### Square Measured by 4 Points

- A circle feature with square type form deviation is measured by 4 points.
  - Coordinate of the center: Same position
  - Diameter: Large difference

2005/12/20 三次元座報測定7回 45

### U.: Measured Points Partially on Circle

- The uncertainty of diameter by  $P_{r+c}$  of  $n = 64$  is larger than that of  $n = 16$  in the partial circle measurement, because of  $P_{r+c}$  can not handle the autocorrelation function of the circle feature.

number of data $n$	16	64
uncertainty of diameter $S_d$ by $P_{r+c}$	25.5 $\mu\text{m}$	26.7 $\mu\text{m}$
uncertainty of diameter $S_d$ by $P_{cov}$	23.5 $\mu\text{m}$	23.2 $\mu\text{m}$

2005/12/20 三次元座報測定7回 46

### Additional Measuring Points

- Additional measuring points near Point A have almost same form deviations of Point A by effects of correlation
- Therefore, additional measuring points provide bad effects, when using same weightings ( $S_{ran}$ )
- Use  $S_{cov}$

2005/12/20 三次元座報測定7回 47

### 三次元測定機の不確かさのまとめ

- 三次元測定の不確かさ
  - 測定機が複雑である
  - 測定戦略を考える必要がある
  - 不確かさの推定方法
    - 比較測定
    - シミュレーション法
    - 理論的な検討
- 比較測定
  - 簡単で安全な方法
- シミュレーション法の基本概念を紹介した
  - シミュレーション法は座標計測における測定の不確かさを推定する不可欠な手法となる(バーチャルCMM)
- 理論的な検討
  - プローブ校正の影響
  - 形状偏差の影響(形状偏差が相関を持つ場合)

2005/12/20 三次元座報測定7回 48